

冷却原子 (cold atoms)

→ 系を自由にデザインしコントロールできる
利点

- 量子統計、成分数、質量比 ← 原子種
- 空間次元 ← 光格子
- 粒子間相互作用 ← フェルミオン、ボソン
- ...

★ 何ができるか？

ユニタリ-極限 \Rightarrow (最)強相関、共形対称性

★ 非相対論的系系における共形対称性
とその物理的帰結

1. 冷却原子、ユニタリ-極限、ゼロレンジ極限
2. スケール不変性とシュレーディンガー代数
3. 凝縮状態対称性、呼吸振動、体積粘性

★ 共形対称性の破れとその物理的帰結

4. スケール対称性の量子力学的破れ
5. エフィモフ効果と普遍性
6. 線形込み群によるスーパーエフィモフ効果

以下、 $g=1$, $k_F=1$,

ただし、 $c=1$ ではない

★ 原子種

アルカリ金属

Li Na K Rb Cs

${}^6\text{Li}$

${}^{39}\text{K}$

ボース粒子

${}^7\text{Li}$

${}^{40}\text{K}$

${}^{41}\text{K}$

フェルミ粒子

アルカリ土類

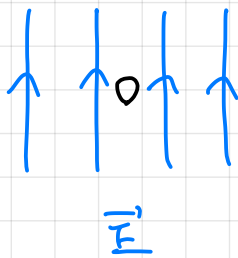
Sr Yb

77の安定同位体

(ボース粒子5つ, フェルミ粒子2つ)

★ 光格子

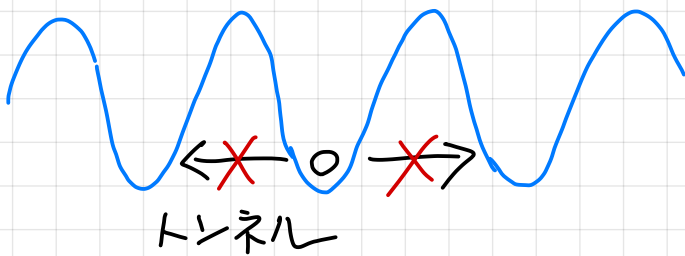
光と原子の相互作用



} 分極 $\vec{p} = \alpha \vec{E}$

⇒ ポテンシャルエネルギー

$$V = -\frac{\alpha}{2} |\vec{E}|^2$$



L-格子の定在波

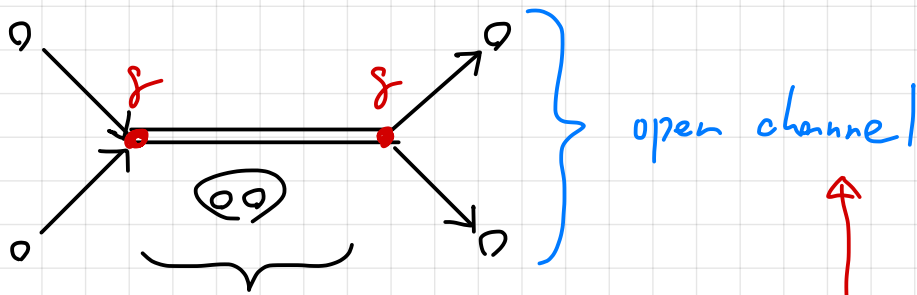
$$|\vec{E}|^2 \propto \cos^2 kz$$

光格子による局在

⇒ 低次元系 (2D, 1D) の実現

★ フェリッシュェバハ共鳴

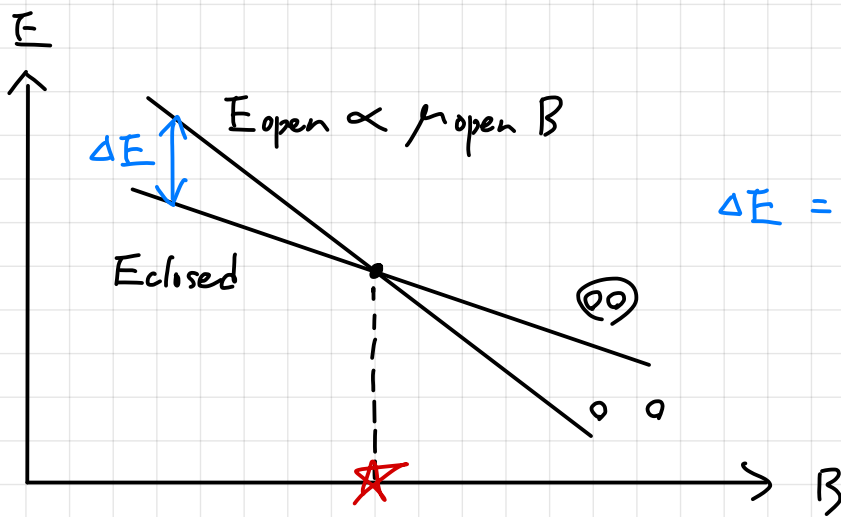
2原子の散乱



中間状態: 2分子の形成
closed channel

磁気モーメント

$$\mu_{open} \neq \mu_{closed}$$



$$\Delta E = E_{closed} - E_{open}$$

$$\Delta E < 0$$

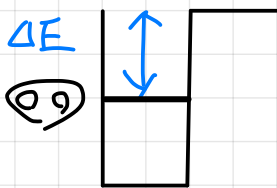
分子は安定

⇕
強い引力

$$\Delta E > 0$$

分子は不安定

⇕
弱い引力

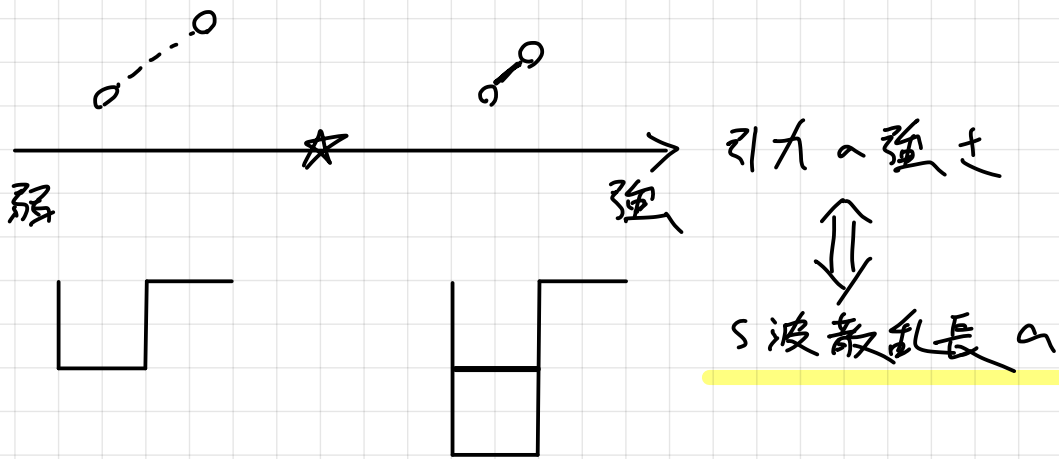


2次摂動での散乱振幅 $\propto \frac{\delta^2}{E_{open} - E_{closed}}$

∴ $\Delta E = 0$ の点で散乱が強くなる。

★ フェリッシュェバハ共鳴

★ 散乱長と $\gamma = 4\pi$ - 極限



$$\text{散乱振幅 } f_s(k) = \frac{-1}{ik - k \cot \delta(k)}$$

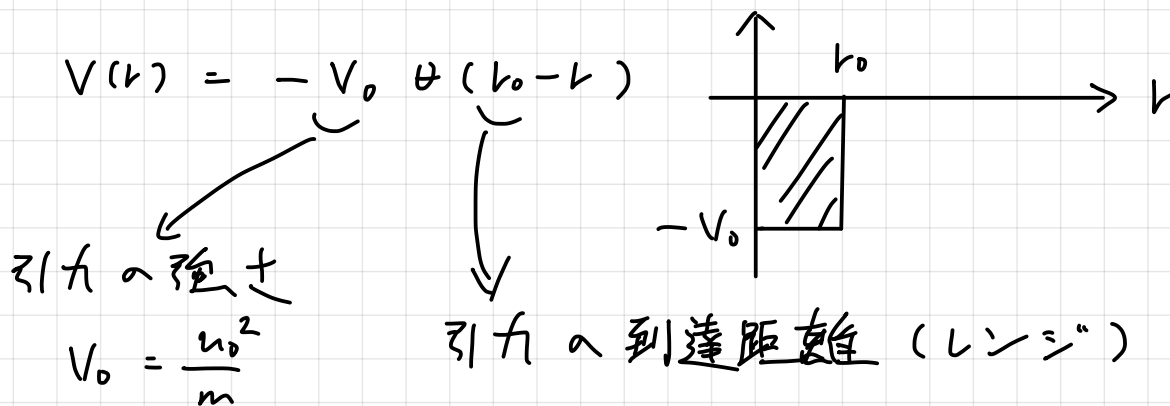
effective range 展開

$$k \cot \delta = -\frac{1}{a} + \frac{1}{2} r_{\text{eff}} k^2 + \dots$$

散乱長 effective range

$$\therefore \frac{1}{a} = -\lim_{k \rightarrow 0} k \cot \delta$$

例) 井戸型ポテンシャル



Schrödinger 方程式 (重心運動は分離)

$$\left[-\frac{\nabla^2}{m} + V(r) \right] \psi(\vec{r}) = E \psi(\vec{r})$$

$$\nabla^2 = \frac{\partial^2}{\partial r^2} + \frac{2}{r} \frac{\partial}{\partial r} + \frac{\hat{\Delta}_0}{r^2} \quad \frac{k^2}{m}$$

$$\Rightarrow \left[-\partial_r^2 - \frac{2}{r} \partial_r - n_0^2 \theta(r_0 - r) \right] \psi(r) = k^2 \psi(r)$$

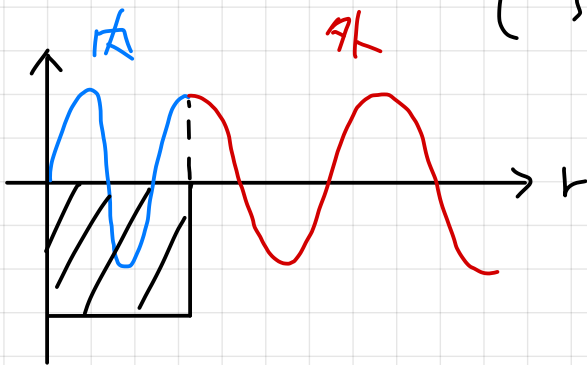
S波

$$\Rightarrow \left[-\partial_r^2 - n_0^2 \theta(r_0 - r) \right] \chi(r) = k^2 \chi(r)$$

$\psi = \frac{\chi}{r}$

$$\therefore \chi'' = \begin{cases} -(k^2 + n_0^2) \chi & \text{for } r < r_0 \\ -k^2 \chi & \text{for } r > r_0 \end{cases}$$

$$\propto \begin{cases} \sin(\sqrt{k^2 + n_0^2} r) \\ \sin(kr + \delta) \end{cases}$$



phase shift

ポテンシャル内外の解の接続

$$\frac{\chi'}{\chi} \Big|_{r=r_0^-} = \frac{\chi'}{\chi} \Big|_{r=r_0^+}$$

$$\Rightarrow \sqrt{k^2 + n_0^2} \cot(\sqrt{k^2 + n_0^2} r_0) = k \cot(kr_0 + \delta)$$

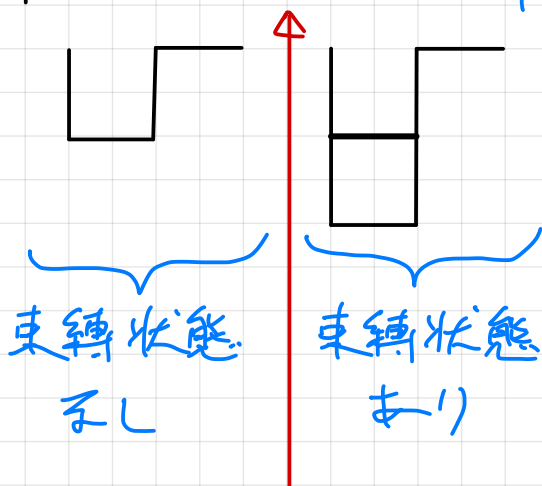
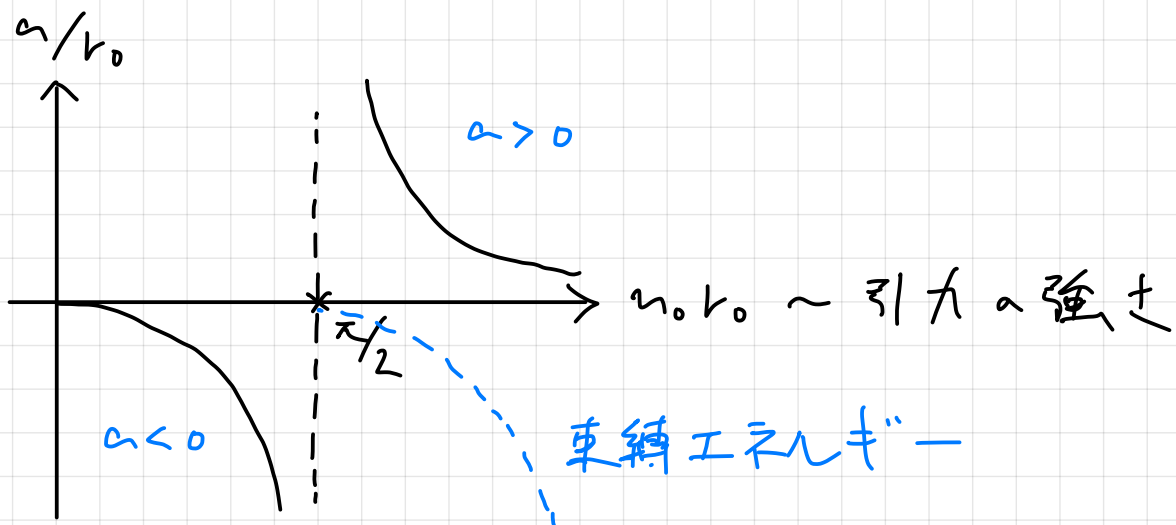
$$= k \frac{\cot(kr_0) \cot \delta - 1}{\cot(kr_0) + \cot \delta}$$

$\cot \delta$ は $\pi/2$ 解 $< \pi$.

$$k \cot \delta = k \frac{\sqrt{k^2 + n_0^2} \cot(\sqrt{k^2 + n_0^2} b_0) \cot(k b_0) + k}{k \cot(k b_0) - \sqrt{k^2 + n_0^2} \cot(\sqrt{k^2 + n_0^2} b_0)}$$

$$\xrightarrow{k \rightarrow 0} \frac{n_0 \cot(n_0 b_0)}{1 - n_0 b_0 \cot(n_0 b_0)} \equiv -\frac{1}{a}$$

$$\therefore a = b_0 - \frac{1}{n_0 \cot(n_0 b_0)} = b_0 \left(1 - \frac{\tan(n_0 b_0)}{n_0 b_0} \right)$$



S 波散乱断面積

$$\sigma_s = 4\pi |f_s(k)|^2$$

$$\xrightarrow{k \rightarrow 0} 4\pi a^2$$

最大の散乱断面積 @ $a \rightarrow \infty$

工 = 4π - 極限 \Rightarrow (最) 強相関

引力の強さ : 弱 \rightarrow 中 \rightarrow 強

α : $-0 \rightarrow \pm\infty \rightarrow +0$

$1/\alpha$: $-\infty \rightarrow 0 \rightarrow +\infty$

相関の強さ : 小 \rightarrow 大 \rightarrow 小

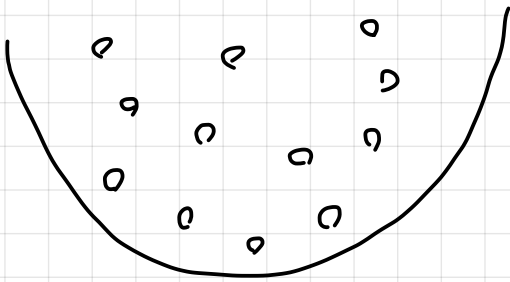
★ ゼロレンジ極限

系に存在する長さスケール

- 密度 $n \rightarrow$ 平均粒子間距離 $l \sim n^{-1/3} \sim 100 \text{ \AA}$
- 温度 $T \rightarrow$ 熱ド・ブロー波長 $\lambda \sim \frac{1}{\sqrt{mT}} \gtrsim l$
- 相互作用 \rightarrow 到達距離 $l_0 \sim 10 \text{ \AA}$

\rightarrow 散乱長 $a \sim$ 可変

($\rightarrow \infty$ の $\gamma = 41$) - 極限)



$\Rightarrow l_0 \ll l, \lambda, a$

\downarrow 無視できる

0

ゼロレンジ極限

\Rightarrow 系の物理は n, T, a だけから決定され、ポテンシャルの詳細に依存しない。

普遍性!!!

冷却原子の物理

~ 希薄核 (中性子) 物質の物理

井戸型ポテンシャルの場合

$$\frac{\tan(\kappa_0 b_0)}{\kappa_0} = 1 - \frac{a}{b_0} \xrightarrow[b_0 \rightarrow 0]{a \text{ 固定}} \infty$$

$$\kappa_0 b_0 = \frac{\pi}{2} + \epsilon \quad \text{とすれば, } (\epsilon \ll 1)$$

$$-\frac{2}{\pi} \frac{1}{\epsilon} = -\frac{a}{b_0} \Rightarrow \epsilon = \frac{2}{\pi} \frac{b_0}{a}$$

$$\therefore \kappa_0 \xrightarrow[b_0 \rightarrow 0]{} \frac{\pi}{2b_0} + \frac{2}{\pi a} \quad \text{とすれば, } a \text{ 固定}$$

Γ a とし

$$k \cot \delta = -\frac{1}{a} + \underbrace{\frac{1}{2} \cot^2 k^2 + \dots}_{\rightarrow 0} \xrightarrow[b_0 \rightarrow 0]{} -\frac{1}{a} \quad \text{と予子.}$$

- $\Gamma = \infty$ - 極限 $a \rightarrow \infty$ (b_0 固定)
- セロレンジ極限 $b_0 \rightarrow 0$ (a 固定)

2つの極限を同時にとると、
($a = \infty$ に固定して $b_0 \rightarrow 0$)

$$k \cot \delta(k) \rightarrow 0 \quad \left(\delta(k) \rightarrow \frac{\pi}{2} \right)$$

$$\text{散乱振幅 } f_s(k) \rightarrow \frac{-1}{ik}$$

スカラーの粒子の相互作用!
(最強相関)

★ ゼロレンジ極限の記述

1) 量子力学

Schrödinger 方程式

$$\left[-\frac{\nabla^2}{m} + V(r) \right] \psi(r) = E \psi(r)$$

$$\lim_{r \rightarrow 0} V(r) = 0 \quad \text{for } r > 0$$

$$\Rightarrow -\frac{\nabla^2}{m} \psi(r) = \frac{k^2}{m} \psi(r) \quad \text{for } r > 0$$

$$\therefore \psi(r) \propto \frac{\sin(kr + \delta)}{r}$$
$$\xrightarrow{kr \rightarrow 0} \frac{\sin \delta + kr \cos \delta}{r}$$

$$\propto \frac{1}{r} + \underbrace{k \cot \delta}_{-\frac{1}{a}}$$

つまり、 $\psi(r)$ は $r > 0$ 2" $-\frac{\nabla^2}{m} \psi(r) = E \psi(r)$ の解、
 $r \rightarrow 0$ 2" $\psi(r) \propto \frac{1}{r} - \frac{1}{a}$ を満たす。

Bethe-Peierls の境界条件

↑ 相互作用

N体の場合も同様だ。

“自由” Schrödinger 方程式は、

$$-\sum_{i=1}^N \frac{\nabla_i^2}{2m} \psi(\vec{r}_1, \dots, \vec{r}_N) = E \psi(\vec{r}_1, \dots, \vec{r}_N)$$

Bethe-Peierls の境界条件のもとで解く。

$$\lim_{|\vec{r}_i - \vec{r}_j|} \psi(\vec{r}_1, \dots, \vec{r}_N) \propto \frac{1}{|\vec{r}_i - \vec{r}_j|} - \frac{1}{a}$$

あるいはフェルミの擬ポテンシャルを用いて、

$$V(r) = \frac{4\pi a}{m} \delta(r) \frac{\partial}{\partial r} r$$

$$\left[-\frac{\nabla^2}{m} + V(r) \right] \psi(r) = E \psi(r) \quad \text{for } r \geq 0$$

とすれば、境界条件 $\psi|_{r=0} < \frac{1}{r} - \frac{1}{a}$ が自動的に選ばれた。

(確認)

$$\left[-\frac{\nabla^2}{m} + V(r) \right] \left(\frac{1}{r} - \frac{1}{a} \right)$$

$$= -\frac{1}{m} \nabla^2 \frac{1}{r} - V(r) \frac{1}{a}$$

$$= -\frac{1}{m} (-4\pi) \delta(r) - \frac{4\pi a}{m} \delta(r) \frac{1}{a}$$

$$= 0 //$$